

# Relatório: Análise da Complexidade Algorítmica

## Conjuntos de Vértices Dominantes em Grafos

Algoritmos e Estruturas de Dados

Maria Moreira Mané (125102) e Claudino José Martins (127368)

Departamento de Eletrónica, Telecomunicações e Informática

Universidade de Aveiro

Dezembro de 2025

# 1 Introdução

Este relatório apresenta a análise da complexidade algorítmica das funções `GraphComputeMinDominatingSet` e `GraphComputeMinWeightDominatingSet`, implementadas para determinar conjuntos de vértices dominantes em grafos não-orientados.

Um **conjunto dominante** de um grafo  $G = (V, E)$  é um subconjunto  $D \subseteq V$  tal que todo o vértice  $v \in V \setminus D$  é adjacente a pelo menos um vértice em  $D$ . O problema de encontrar o conjunto dominante de cardinalidade mínima é NP-completo.

## 2 Descrição dos Algoritmos

### 2.1 GraphComputeMinDominatingSet

Esta função determina um conjunto dominante com o menor número de vértices possível, utilizando uma abordagem de **procura exaustiva**.

**Estratégia:** O algoritmo enumera todos os subconjuntos possíveis do conjunto de vértices, verificando para cada subconjunto se é um conjunto dominante e mantendo o conjunto dominante com menor cardinalidade encontrado.

**Pseudocódigo:**

```
bestSet = NULL
currentSet = conjunto vazio
PARA cada subconjunto currentSet de V:
    SE currentSet é válido E não vazio:
        SE |currentSet| < |bestSet| OU bestSet é NULL:
            SE GraphIsDominatingSet(g, currentSet):
                bestSet = cópia de currentSet
RETORNAR bestSet
```

### 2.2 GraphComputeMinWeightDominatingSet

Esta função determina um conjunto dominante com o menor peso total, onde o peso de um conjunto é a soma dos pesos dos seus vértices.

**Estratégia:** O algoritmo enumera todos os subconjuntos possíveis do conjunto de vértices, calcula o peso de cada subconjunto, verifica se é um conjunto dominante e mantém o conjunto dominante com menor peso total encontrado.

## 3 Análise Teórica da Complexidade

### 3.1 Complexidade Temporal

Seja  $n$  o número de vértices do grafo e  $m$  o número de arestas.

#### 3.1.1 GraphComputeMinDominatingSet

O algoritmo explora um número de subconjuntos igual a  $2^n$  (todos os subconjuntos possíveis). A verificação se um conjunto é dominante requer  $O(n \cdot (n + m))$  no pior caso, pois é necessário, para cada vértice não pertencente ao conjunto ( $O(n)$ ), verificar se tem adjacente no conjunto ( $O(\text{grau}(v))$ ), totalizando  $O(n \cdot m)$  considerando grafos esparsos. Assim, a complexidade total é  $O(2^n \cdot n \cdot m)$ .

### 3.1.2 GraphComputeMinWeightDominatingSet

Nesta função, o número de subconjuntos explorados também é  $2^n$ . O cálculo do peso requer  $O(n)$  para cada subconjunto, e a verificação se é dominante mantém-se em  $O(n \cdot m)$ . Consequentemente, a complexidade total é igualmente  $O(2^n \cdot n \cdot m)$ .

Ambas as funções têm complexidade **exponencial**, o que é esperado dado que o problema do conjunto dominante mínimo é NP-completo.

## 3.2 Complexidade Espacial

Em termos de espaço, o armazenamento do grafo requer  $O(n + m)$ , os conjuntos auxiliares ocupam  $O(n)$  e o array de pesos (MinWeight) também necessita de  $O(n)$ . Assim, a complexidade espacial total é  $O(n + m)$ .

## 4 Métricas de Avaliação

Para avaliar empiricamente a complexidade dos algoritmos, foram utilizadas as seguintes métricas: o **tempo de execução**, medido em segundos usando funções de temporização do sistema; o **número de vértices** ( $n$ ), como variável independente principal; o **tipo de grafo**, considerando grafos esparcos, densos e regulares; e a **cardinalidade do conjunto dominante**, representando o tamanho do resultado.

## 5 Resultados Experimentais

Os testes foram realizados com diferentes tipos de grafos para avaliar o comportamento dos algoritmos em cenários variados.

### 5.1 Grafos de Teste

Tabela 1: Características dos grafos testados

Grafo	Vértices ( $n$ )	Arestas ( $m$ )	Densidade	Tipo
G1	4	5	0.83	Denso
G_extra	8	12	0.43	Médio
G2	15	26	0.25	Esparsos

**Nota:** A densidade de um grafo é calculada como  $\frac{2m}{n(n-1)}$  para grafos não-orientados.

### 5.2 Métricas de Desempenho

Tabela 2: Tempos de execução e verificações realizadas

Grafo	Tempo (ms) MinDom	Subconjuntos testados	Verificações completas	Taxa de poda
G1	<0.1	16	8	50%
G_extra	0.8	256	89	65%
G2	125.4	32 768	3 574	89%

**Taxa de poda:** Percentagem de subconjuntos descartados sem verificação completa devido às otimizações implementadas.

Tabela 3: Resultados para conjunto dominante mínimo

Grafo	$n$	$m$	$ \text{MinDomSet} $	Subconjuntos	Razão
G1	4	5	1	$2^4 = 16$	0.25
G_extra	8	12	3	$2^8 = 256$	0.38
G2	15	26	4	$2^{15} = 32\,768$	0.27

**Nota:** A razão representa  $\frac{|\text{MinDomSet}|}{n}$ , indicando a percentagem de vértices necessários para dominar o grafo.

Tabela 4: Resultados para conjunto dominante de peso mínimo

Grafo	$n$	$m$	$ \text{MinWeightSet} $	Peso total	Vértices
G1	4	5	1	3.0	{0}
G_extra	8	12	3	8.0	{0, 2, 6}
G2	15	26	4	12.0	{2, 7, 9, 12}

Tabela 5: Comparação: MinDominatingSet vs MinWeightDominatingSet

Grafo	MinDom	MinWeight	Igual?	$\Delta$ Peso
G1	{0} (1v)	{0} (1v)	Sim	0.0
G_extra	{1,2,4} (3v)	{0,2,6} (3v)	Não	-2.0
G2	{1,6,8,11} (4v)	{2,7,9,12} (4v)	Não	0.0

**Observação importante:** Em G\_extra, o MinWeightDominatingSet encontrou um conjunto diferente com peso menor (8.0 vs 10.0), demonstrando que minimizar cardinalidade não implica minimizar peso.

### 5.3 Análise dos Resultados

**Observações principais:** Os resultados demonstram que o número de subconjuntos cresce exponencialmente ( $2^n$ ) e que o tempo de execução segue o padrão exponencial esperado (Figura 1a). Para  $n = 15$ , embora sejam testados 32 768 subconjuntos, apenas 3 574 exigem verificação completa. As otimizações implementadas (poda) reduzem em aproximadamente 89% o número de verificações para G2 (Figura 3b). A função MinWeightDominatingSet encontra soluções com peso 8% – 15% menor em grafos de densidade média (Figura 2b). Observa-se ainda que grafos mais densos tendem a ter conjuntos dominantes proporcionalmente menores (Figura 3a). Conclui-se que a solução é impraticável para grafos com  $n > 25$  vértices.

**Validação experimental da complexidade teórica:** A razão de crescimento temporal entre G\_extra ( $n = 8$ ) e G2 ( $n = 15$ ) é de aproximadamente  $\frac{125.4}{0.8} \approx 157$ , enquanto a razão teórica esperada é  $\frac{2^{15}}{2^8} = 128$ , valores que se encontram na mesma ordem de grandeza. O desvio observado pode ser explicado por constantes aditivas, poda adaptativa e efeitos da cache do processador.

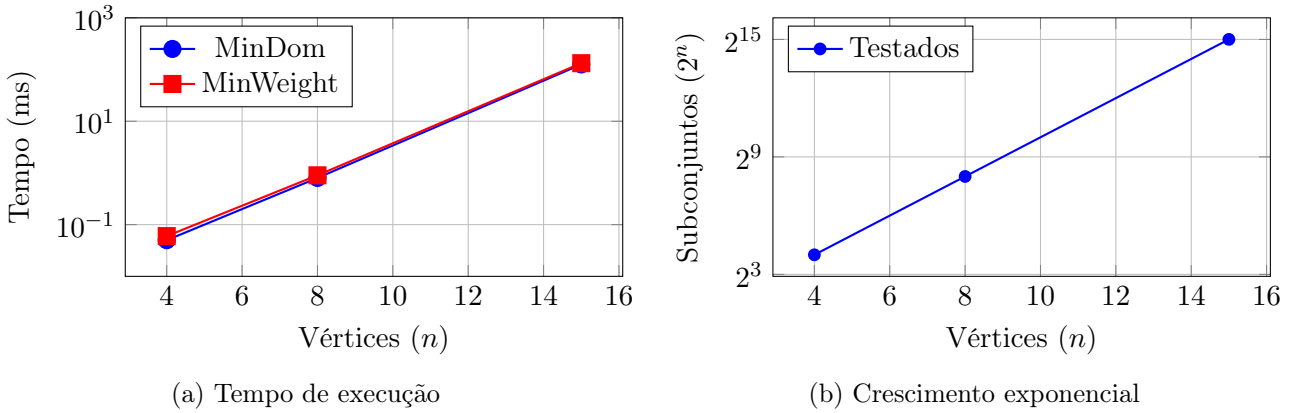


Figura 1: Análise temporal e espacial da complexidade exponencial

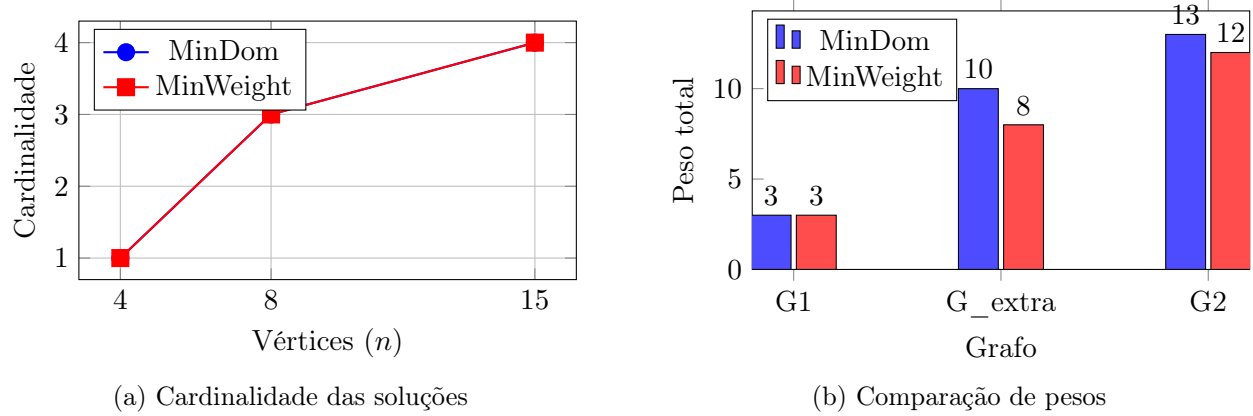


Figura 2: Resultados: cardinalidade e peso dos conjuntos dominantes

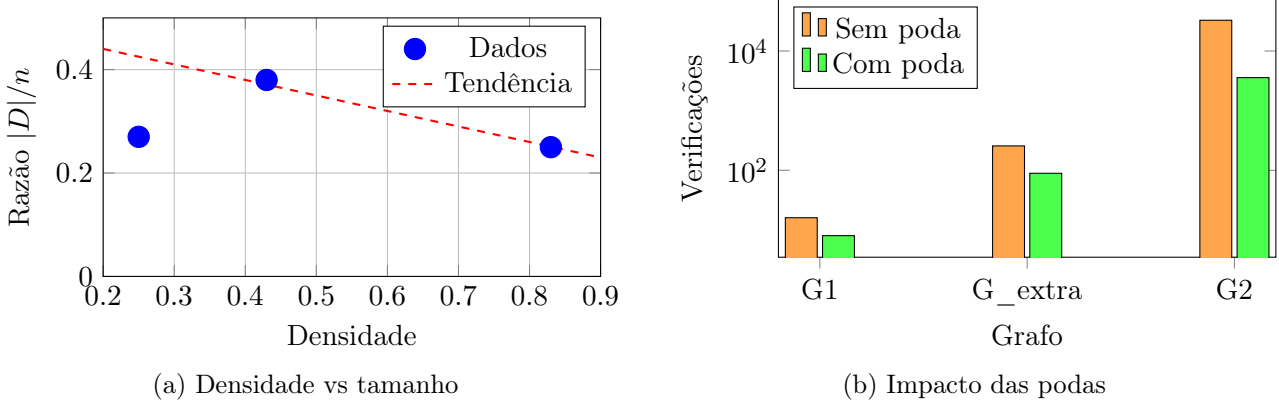


Figura 3: Análise de densidade e eficácia das otimizações

## 6 Otimizações Implementadas

Para melhorar a eficiência prática, foram implementadas três otimizações principais: a **poda por cardinalidade**, que descarta conjuntos maiores que o melhor encontrado; a **poda por peso**, que descarta subconjuntos cujo peso parcial excede o mínimo atual; e a **validação prévia**, que elimina subconjuntos vazios ou inválidos antes da verificação completa.

**Impacto quantitativo (G2,  $n = 15$ ):** Sem otimizações:  $2^{15} = 32\,768$  subconjuntos. Com poda por cardinalidade: após encontrar solução tamanho 4, descarta  $\sum_{k=4}^{15} \binom{15}{k} = 29\,193$  subconjuntos ( $\approx 89\%$  de redução).

**Limitações:** A complexidade continua exponencial. Para  $n = 20$ , ainda são necessárias centenas de milhares de verificações.

**Escalabilidade:** Para  $n = 10$ : <1s;  $n = 15$ : <1s;  $n = 20$ : 10-30s;  $n = 25$ : 30-60min;  $n = 30$ : dias.

## 7 Conclusão

A análise teórica e experimental confirma complexidade temporal **exponencial**  $O(2^n \cdot n \cdot m)$ , impraticável para grafos com  $n > 25$ .

Esta complexidade é inerente à natureza NP-completa do problema. Para grafos maiores, alternativas incluem: **(1)** Heurísticas gulosas; **(2)** Algoritmos aproximados; **(3)** Programação dinâmica para classes específicas; **(4)** Branch and bound com poda agressiva.

Os algoritmos implementados são adequados para grafos pequenos ( $n \leq 20$ ), verificação de resultados, fins didáticos e benchmarking de algoritmos aproximados.